دراسة العلاقة بين قطر الأوعية الخشبية لكرمة العنب Dead-arm والإصابة بمرض الذراع الميت

ساهر الحلبي $*^{(1)}$ ووليد نفاع $^{(2)}$ وبيان مزهر $^{(3)}$

- (1). دائرة بحوث وقاية النبات, مركز بحوث السويداء, الهيئة العامة للبحوث العلمية الزراعية، سورية.
 - (2). كلية الزراعة الثانية، جامعة دمشق السويداء، سورية.
- (3). قسم التفاحيات والكرمة، مركز بحوث السويداء، الهيئة العامة للبحوث العلمية الزراعية، سورية.
 - (*للمراسلة: م. ساهر الحلبي، البريد الإلكتروني: alhalabi.m.saher@gmail.com).

تاريخ القبول:2024/05/25

تاريخ الاستلام:2023/12/30

الملخص

يعد مرض الذراع الميت Dead-arm واحد من أهم أمراض جذع كرمة العنب، إذ يؤثر في جودة وكمية الإنتاج، ويؤدي إلى الموت المبكر للشجيرات المصابة. كان الهدف من هذا البحث دراسة بعض خصائص الأوعية الخشبية (قطر الوعاء والكثافة أي عدد الأوعية / 1 مم²) في صنفين من كرمة العنب. كرمة العنب لا v. vinifera L. كرمة العنب في مركز البحوث العلمية الزراعية وبساتين كرمة العنب ضمن محافظة السويداء, خلال الموسم (2022–2023). أظهرت النتائج وجود علاقة طردية بين متوسط أقطار الأوعية الخشبية وبسبة الإصابة بالمرض، إذ امتاز الصنف سلطي بمتوسط كبير لأقطار الأوعية الخشبية (195.14) ميكرومتر)، والذي ترافق مع نسبة إصابة بالمرض قدرت بـ 100%، مقارنة بالصنف حلواني الذي سجل نسبة إصابة أوعية الأوعية الخشبية (87.27 ميكرومتر)، كما لوحظ ارتباط عكسي بين كثافة الأوعية ومتوسط أقطارها في الأصناف المدروسة، إذ قدرت كثافة الأوعية بحوالي 29.75 وعاء/مم² في الصنفين سلطي وحلواني على التوالي. تعتبر هذه الدراسة هي الأولى التي تبين دور وعلاقة قطر وكثافة الأوعية الخشبية في كرمة العنب بحدوث الدراسة هي الأولى التي تبين دور وعلاقة قطر وكثافة الأوعية الخشبية في كرمة العنب بحدوث وانتشار مرض الذراع الميت.

الكلمات المفتاحية: كرمة العنب، الذراع الميت، أوعية خشبية، قطر، كثافة.

المقدمة

تُعدُ كرمة العنب .Vitis vinifera L. عائلاً لأكبر مجموعة متنوعة لمسببات الأمراض من بين النباتات الخشبية المزروعة Wilcox et al.)، وتُعد مسببات الأمراض الفطرية هي الأكثر أهمية من بين الأمراض التي تصيب الكرمة (Martelli, 1997)، وتشكل خاص أمراض جذع الكرمة (Creasy and Creasy, 2018 \$2015)، وبشكل خاص أمراض جذع الكرمة (Bertsch et al., 2013)، وتحدث العدوى بها بشكل أساسي من خلال جروح التقليم (Rolshausen et al., 2010).

يعتبر مرض الذراع الميت Dead-arm المتسبب عن الفطر Phomopsis viticola من الأمراض الخطيرة مثل أمراض الاسكا Betryosphaeria dieback والموت التراجعي Esca والموت التراجعي Eutypa dieback والموت التراجعي Esca والموت التراجعي Betryosphaeria dieback (Ýrbez-Torres, 2011 (Kotze et al., 2011 (Graniti et al., 2000)

Al-Halabi et al -Syrian Journal of Agriculture Research-SJAR 12(5): 110-119 October 2025

2018). وقد ذكر Bertsch وآخرون (2013) من خلال الملاحظات الحقلية أنه لا توجد أصناف كرمة مقاومة لهذه الأمراض الوعائية، بل تتراوح درجات قابليتها للإصابة من شديدة القابلية أو التأثر إلى منخفضة القابلية (2013). عادة ما تكون أعراض الإصابة على أصناف الكرمة الأكثر تحملاً للأمراض الوعائية أقل حدة منها على الأصناف القابلة للإصابة، وهذا يشير إلى أن النباتات المتحملة يمكن أن تحد من شراسة العوامل المرضية (1995). الفطر الممرض داخل المضيف بواسطة الأبواغ المنقولة بتدفق النسغ ضمن النسيج الخشبي, أو من خلال نمو مشيجة الفطر, حيث تسطيع العوائل الأكثر تحملاً لمسببات الأمراض أن تعوض بسرعة عن فقدان الأوعية الخشبية التي تم حجز العامل الممرض ضمنها، عن طريق تمايز أوعية وظيفية جديدة للحفاظ على حركة الماء المتدفق في الأفرع، والتي قد تفسر أيضا تحمل أمراض الذبول (Tradin and Thomma, 2006).

أشارت بعض الدراسات إلى أنه عند الإصابة بمرض الاسكا Esca للأنسجة الخشبية في كرمة العنب، يمكن للعائل النباتي أن يحد من انتشار العامل الممرض من خلال تقليل تجويف الأوعية الخشبية النباتية، أو عن طريق إنتاج المواد الهلامية وتطوير التيلوزات التي تقوم بسد الأوعية وحجز العامل الممرض (Yadeta and Thomma, 2013; Fradin and Thomma, 2006).

بينت دراسة لمرض بيرس على الكرمة، والمتسبب عن البكتيريا Oprole غربية قد أظهرا أعراضاً أقل للمرض، وكانت أقطار الأوعية "Merlot" و"Cabernet Sauvignon" من مجموعة Oprole الغربية قد أظهرا أعراضاً أقل للمرض، وكانت أقطار الأوعية الخشبية صغيرة مقارنة بالصنف "Thompson Seedless" من مجموعة Phaeomoniella chlamydospora وطول النقرحات الميتة التي يسببها Pouzoulet وآخرون (2017) أن انتشار الفطر Phaeomoniella chlamydospora وطول النقرحات الميتة التي يسببها ترتبط بحجم الوعاء، وذلك تبعاً لصنف الكرمة المزروع. كما تمت الإشارة إلى أن قطر وعاء نسيج الخشب يؤثر في قابلية أصناف الكرمة للإصابة بالمرض، وهذا قد يكون أحد الأسباب التي يمكن أن تفسر الاختلافات المحتملة في درجة قابلية أصناف الكرمة للإصابة بمرض الاسكا Esca (Pouzoulet et al., 2014) Esca المحتملة والمسابة بمرض الاسكا

كان الهدف من هذا البحث دراسة بعض خصائص الأوعية الخشبية، مثل قطر الوعاء وكثافة الأوعية، لدى صنفي كرمة العنب. V. vinifera "سلطى" و"الحلوني"، وارتباطها بدرجة قابلية الصنف للإصابة بمرض الذراع الميت على كرمة العنب.

مواد البحث وطرائقه:

المادة النباتية:

تم اختيار صنفين من كرمة العنب .V. vinifera L المزروعة في محافظة السويداء, الصنف الأول "سلطي" والذي يعتبر من أكثر الأصناف المحلية شديدة القابلية للإصابة بمرض الذراع الميت, والصنف الثاني "حلواني" باعتباره من الأصناف المحلية ضعيفة الإصابة بالمرض حتى أنه يعتبر من الأصناف المحلية المقاومة, وذلك بناءً على المشاهدات الحقلية المسجلة في بسانين الكرمة في المحافظة.

اختبار قابلية الصنفين "سلطى" و "حلوانى" للإصابة بمرض الذراع الميت تحت ظروف العدوى الاصطناعية:

2-2-1. تحضير الغراس:

أخذت العقل من صنفي الكرمة "سلطي" و"حلواني" من كروم سليمة ومناطق غير منتشر فيها المرض, وتم تجذيرها في وسط زراعة مكون من (تربة ورمل وسماد بلدي) بنسبة (1:1:1) ضمن أصص زرع بالستيكية, ووضعت ضمن ظروف متحكم بها داخل البيت

الزراعي في مركز البحوث العلمية الزراعية في السويداء, بمعدل عشرين عقلة لكل صنف كرمة مُختبر, وتمت العناية بها لحين تطبيق العدوى عليها.

2-2-2 عزل وتنقية الفطر المسبب Phomopsis viticola

غزل الفطر من قصبات مصابة جمعت من بساتين كرمة العنب في محافظة السويداء, حيث أُخذت قطع صغيرة بسماكة 1 – 3 ملم من المناطق المصابة على القصبات, عُقمت بالكحول الإيثيلي 70% لمدة 30 ثانية, نُقلت إلى محلول هيبوكلوريت الصوديوم (NaOCI 1%) لمدة دقيقة واحدة, غُسلت مرتين متتاليتين بالماء المقطر والمعقم, جُففت بواسطة ورق ترشيح، وُضعت في أطباق بتري تحتوي على الوسط المغذي Ampicillin بتركيز (PDA) Potato Dextrose Agar المضاف إليه المضاد الحيوي ampicillin بتركيز جديدة عرارة 25°س لمدة 5–7 أيام, ثم تمت عملية التنقية للفطريات النامية بنقلها إلى أطباق بتري جديدة محتوية على PDA, وتحضينها بنفس الشروط للحصول على مستعمرات نقية (2019) (Manawasinghe et al., 2019).

2-2-3 تحضير اللقاح

تمت العدوى بالفطر P. viticola باستخدام قطع دائرية (سداة) قطرها 5 مم من مشيجة الفطر, أخذت من حافة مستعمرة نشطة لأrbez-Torres and) أيام, وذلك باستخدام النهاية الطرفية ذات الشكل الدائري لإبرة باستور الزجاجية بعد تعقيمها (Gubler, 2009).

أجريت العدوى الاصطناعية بالعامل الممرض على قصبات بعمر سنة لغراس الكرمة المزروعة في الأصص البلاستيكية, وذلك بعد إجراء عملية التقليم مباشرة بوضع السداة على جرح التقليم, وتم تغليفها بورق البارافيلم, وذلك في ظروف متحكم بها في البيت الزجاجي.

تم تقدير نسبة الغراس المصابة لكل صنف بعد شهر من العدوى, كنسبة مئوية للغراس المصابة في الصنف المُختبر من العدد الكلى للغراس لنفس الصنف, وفق المعادلة:

نسبة الغراس المصابة % = (عدد الغراس المصابة ÷ العدد الكلي للغراس) × 100

تم تقدير شدة الإصابة على الفروع باستخدام السلم الموضح في الجدول (2) (Barba et al., 2018).

الجدول (2): سلم تقييم شدة الإصابة بالفطر Phomopsis viticola على فروع الكرمة.

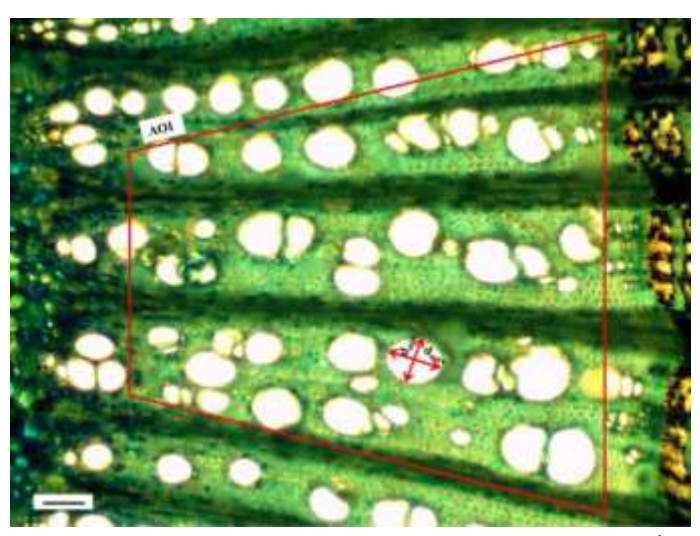
شدة الاصابة	الدرجة
لا توجد أعراض	0
إصابة خفيفة, عدد قليل من التقرحات المنفصلة	1
إصابة معتدلة, تقرحات متصلة واسعة الانتشار	2
إصابة شديدة, تقرحات مسودة, نسيج السلامية فليني ومشوه	3

تم تقدير نسبة شدة الإصابة ضمن كل صنف على فروع الغراس المُعداة, كنسبة مئوية لكل درجة شدة إصابة مُسجلة في الصنف المُختبر من العدد الكلى للغراس لنفس الصنف, وفق المعادلة:

نسبة شدة الإصابة % = (تكرار درجة شدة الإصابة ÷ العدد الكلي للغراس) × 100

2-3 تقدير قطر وكثافة أوعية النسيج الخشبي

تم تقدير قطر وكثافة الأوعية الخشبية ضمن مقاطع عرضية لقصبات كرمة ساكنة لكلا الصنفين المدروسين "سلطي" و"حلواني" كما هو موضح بالشكل 1 (Foglia et al., 2022).



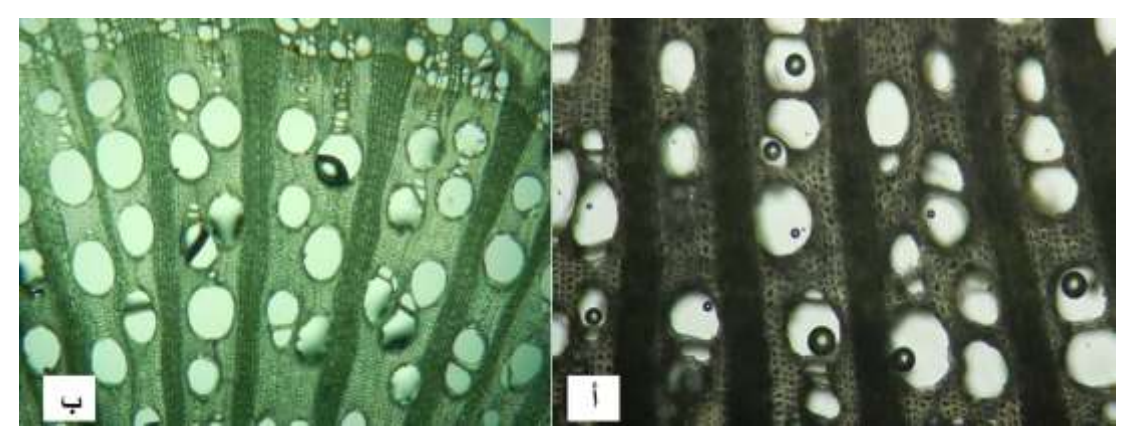
الحد (x4) على مقطع عرضي القصبة كرمة. (D max) الحد (x4) على مقطع عرضي لقصبة كرمة. (D max) الحد (1): رسم توضيحي لأبعاد الأوعية الفقس. المقسى المقطر, و(D min) الحد الأدنى للقطر. كثافة الأوعية (تحديد العدد الإجمالي للأوعية في 1 مم²) ضمن الإطار الأحمر (AVO) (AVO). (al., 2022)

تم تحضير العينات وفق (Scholz et al., 2013), حيث ثبتت أجزاء صغيرة من السلاميات بسماكة 5 مم في محلول (FAA) مكون من فورمالديهايد وحمض الخليك وكحول إيثيلي بنسب (5/5/9) لمدة 48 ساعة عند 4°س، غُسلت بالماء المقطر، ثم كفظت عند 4°س في 80٪ إيثانول. أجريت مقاطع عرضية بسماكة (70ميكرون) بواسطة جهاز الميكروتوم (RM2125 Microtome غُفظت عند 4°س في كلية الزراعة بجامعة دمشق, وأُخذت قياسات أقطار الأوعية وكثافتها تحت المجهر الضوئي عند تكبير 4× في المقطع العرضي للسلاميات القاعدية لعشرين قصبة من كل صنف، وقد تم اختيار السلاميات القاعدية لأن الإصابة بمرض الذراع الميت تبدأ منها. حُسبتُ أقطار الأوعية العرضية عن طريق قياس متوسط الأقطار الكبيرة (D max) والصغيرة (min لكل وعاء. وتم حساب كثافة الوعاء, وذلك عن طريق حساب متوسط عدد الأوعية في كل 1 مم² كما هوموضح بالشكل 1.

تم تطبيق تحليل التباين ANOVA لتحديد معنوية الفروق لمتوسط قطر الأوعية الخشبية، والتي تعود لصنف الكرمة المدروس "سلطي" و"حلواني" وفق تصميم التجربة العشوائي التام (Completely Randomized Design (CRD). وتم تقدير معامل ارتباط بيرسون لمعرفة قوة واتجاه العلاقة بين نسبة الإصابة وقطر الأوعية الخشبية في كل صنف, وتقدير الارتباط بين قطر وكثافة الأوعية.

النتائج والمناقشة

تم تقدير قطر وكثافة الأوعية الخشبية لكلا الصنفين المدروسين (سلطي وحلواني) لدراسة مدى ارتباطها بالإصابة بمرض الذراع الميت، حيث أظهرت نتائج التوصيف التشريحي للمقاطع العرضية لقصبات بعمر سنة وجود اختلاف في قطر الأوعية الخشبية بين الصنفين, فكان متوسط قطر الوعاء الخشبي في "سلطي" و"حلواني" (159.14 و87.29) ميكرون على التوالي (الشكل 2). وهذا ما ذكرته دراسة Foglia وآخرون (2022) بوجود اختلاف في متوسط قطر الأوعية الخشبية تبعاً لصنف الكرمة المدروس.



الشكل (2): مقطع عرضي في قصبات كرمة Vitis venfera بعمر سنة واحدة يظهر الأوعية الخشبية. (1) الصنف "ملطى", (ب) الصنف "حلواني".

كما تبين خلال الدراسة أن شدة الإصابة بمرض الذراع الميت قد ارتبطت بقطر الأوعية الخشبية للصنفين المدروسين, فقد أظهرت تتائج العدوى الاصطناعية لغراس صنفي الكرمة "سلطي" و"حلواني" بالفطر Phomopsis viticola وجود اختلاف في نسبة الغراس المصابة, فكانت 100% في الصنف سلطي, وتراوحت شدة الإصابة بين معتدلة عند الدرجة (2) إلى شديدة عند الدرجة (3) وفق مقياس (Barba et al., 2018), أما في الصنف "حلواني" فكانت منخفضة، إذ شجلت نسبة إصابة 25% فقط, حيث قدرت شدة الإصابة بين الخفيفة عند الدرجة (1) إلى المعدومة بلا وجود إصابة عند الدرجة (0) وفق المقياس المستخدم في البحث (الجدول 1) و(الشكل 3). وكانت نتائج العدوى في المخبر متماثلة مع المشاهدات الحقلية لنسبة الإصابة بالمرض. حيث اتفقت نتائجنا مع نتائج الكثير من الدراسات العالمية التي تباينت فيها قابلية الإصابة بمرض الذراع الميت ما بين قابل للإصابة ومتوسط وضعيف، وذلك على اختلاف أصناف الكرمة المدروسة في مناطق مختلفة من العالم (Sharga, 2017) وآخرون ومتوسط وضعيف، وذلك على اختلاف أصناف الكرمة ترتبط بعدة عوامل مختلفة منها صنف الكرمة المزروع, بالإضافة لعوامل أخرى كالمناخ (2022) أن الإصابة بأمراض جذع الكرمة ترتبط بعدة عوامل مختلفة منها صنف الكرمة المزروع, بالإضافة لعوامل أخرى كالمناخ السائد. وهذا ما تم ملاحظته خلال الدراسة والنتائج المتحصل عليها كون الإصابة بمرض الذراع الميت كانت أكثر تخصصاً في صنف الكرمة "سلطي" الأكثر قابلية للإصابة, في حين سجل الصنف "حلواني" قابلية إصابة ضعيفة إلى حد اعتبار وجود مقاومة للإصابة.

الجدول (1): عدد ونسبة الغراس المصابة, ونسبة شدة الإصابة بمرض الذراع الميت لكل صنف كرمة مدروس.

	لإصابة %	نسبة شدة ١					
إصابة شديدة	إصابة معتدلة	إصابة خفيفة	لا يوجد إصابة	النسبة المئوية للإصابة	عدد الغراس المصابة	العدد الكلي للغراس	الصنف المدروس
*(3)	*(2)	*(1)	*(0)				
80	20	0	0	%100	20	20	سلطي
0	0	25	75	%25	5	20	حلواني

(*): درجة شدة الإصابة وفق مقياس (Barba et al., 2018)



الشكل (3): شدة الإصابة بمرض الذراع الميت وفق مقياس (Barba et al., 2018): (أ) الدرجة 3 على الصنف "حلواني". (ب) الدرجة 5 على الصنف "حلواني".

ومن المحتمل أن يكون لقطر الوعاء الخشبي دوراً في حدوث وتطور الإصابة بمرض الذراع الميت. وهذا ما ذكره Pouzoulet وآخرون (2014) أن قطر وعاء النسيج الخشبي يختلف بين أصناف كرمة العنب، وأن هذه الميزات قد تتنبأ بدرجة قابلية أي صنف معين لأمراض الأوعية. فقد أشار Pouzoulet وآخرون (2017) إلى أن الأصناف ذات الأوعية الأكبر قد تكون أكثر عرضة للعدوى بالفطر Phaeomoniella chlamydospora وهو أحد العوامل الممرضة في مرض الأسكا على العنب.

وأظهر تحليل التباين ANOVA وجود فروق معنوية بين الصنفين المدروسين، وذلك بالنسبة لقطر الأوعية الخشبية, إذ تفوق الصنف "سلطي" على "حلواني" بشكل معنوي عند مستوى 5% (الجدول 2).

الجدول (1): متوسط قطر الأوعية الخشبية في صنفي كرمة العنب Vitis vinifera "سلطي" و"حلواني".

متوسط قطر الأوعية الخشبية	الصنف	
195.14 ^a	سلطي	
87.27 ^b	حلواني	
LSD = 5.24		
مستوى المعنوية 0.05		

وعند دراسة قوة الارتباط بين الخصائص التشريحية للأوعية (قطر الوعاء الخشبي) وشدة الإصابة بمرض الذراع الميت وفق معامل الارتباط بيرسون, تبين وجود ارتباط ايجابي قوي (r = 97), فكلما زاد حجم وعاء النسيج الخشبي زادت شدة الإصابة بالمرض وفق معامل الارتباط بيرسون (الجدول 3).

الجدول (3): معامل الارتباط بيرسون بين شدة الإصابة وقطر الوعاء الخشبي في أصناف الكرمة المدروسة.

معامل الارتباط	الصنف		
0.80*	سلطي		
0.73*	حلواني		
معامل الارتباط العام *0.97			
	* معنوي على مستوى 5%		

بيت عدة دراسات أخرى، تناولت نباتات أخرى غير كرمة العنب, وجود علاقة بين حدوث الإصابة بأمراض النبات وقطر الأوعية الخشبية، فقد لوحظ في أصناف شجرة الدردار Ulmus المصابة بمرض الذبول المتسبب عن الفطر (Brasier, 1991) (C.M. Brasier) أن لقطر الأوعية الخشبية دور مهم في مقاومة مرض الذبول، إذ تمتلك العوائل الحساسة أو ذات القابلية المرتفعة للإصابة أوعية خشبية ذات أقطار أكبر مقارنة بالأصناف المقاومة (Venturas et al., 2014). وأظهرت دراسة على خصائص نسيج الخشب لأصناف الأفوكادو من السلالات النباتية الغواتيمالية والمكسيكية والهندية الغربية المعرضة للإصابة بمرض ذبول الغار, ارتباط حدوث المرض بقطر الأوعية الخشبية (2020).

أظهرت نتائج تقدير كثافة الأوعية الخشبية (متوسط عدد الأوعية في 1مم 2) اختلافاً في كثافة الأوعية تبعاً للصنف، فكانت مرتفعة في الصنف "حلواني" (38.2 وعاء/مم 2) والذي تميز أيضاً بصغر قطر الوعاء مقارنةً بالصنف "سلطي" (29.7 وعاء/مم 2) ذي قطر الوعاء الأكبر. ومن المحتمل أن هذا الاختلاف في عدد الأوعية لعب دوراً في قابلية إصابة الصنف بالمرض، فامتلاك العائل النباتي عدداً أكبر من الأوعية الخشبية يسمح له بقدرة وكفاءة أكبر على توصيل الماء والمواد الغذائية إلى باقي أجزاء العائل النباتي, ولديه القدرة على تعويض الفاقد نتيجة استعمار العامل الممرض لبعض الأوعية. وهذا ما أكدته عدة دراسات تتعلق بأمراض الذبول, إذ تبين أن الأصناف التي تمتلك عدد أكبر من الأوعية الناقلة لديها قدرة أكبر على التعويض السريع عن فقدان أوعية النسيج الخشبي المسدودة كلياً أو جزئياً بمسببات الأمراض, وذلك عن طريق تشكيل أوعية جديدة من أجل الحفاظ على قدرة كافية على توصيل الماء عبر الساق أو الأفرع, الأمر الذي قد يفسر أيضا تحمل هذه الأصناف لأمراض الذبول (,Talboys كافية على توصيل الماء عبر الساق أو الأفرع, الأمر الذي قد يفسر أيضا تحمل هذه الأصناف لأمراض الذبول (,Fradin and Thomma, 2006) ومن جهة أخرى فقد أظهر تحليل الارتباط بين قطر الأوعية الخشبية وكثافتها, وجود ارتباط سلبي وفق معامل الارتباط بيرسون (8-80) (الجدول 4) .

الجدول (4):معامل الارتباط بيرسون بين قطر الأوعية والكثافة.

- 0.94*	سلطي	
- 0.98*	حلواني	
معامل الارتباط العام *88.0 -		
	* معنوي على مستوى 5%	

وقد اتفقت نتائجنا مع نتائج Foglia وآخرون (2022)، إذ لوحظ أيضاً وجود ارتباط سلبي بين أقطار الأوعية الخشبية وكثافتها في كل من أصناف كرمة العنب المدروسة.

الاستنتاجات:

أظهرت الدراسة وجود فروق معنوية بمتوسط أقطار الأوعية الخشبية في أصناف كرمة العنب المدروسة, وقد تبين وجود ارتباط طردي بين نسبة الإصابة بمرض الذراع الميت وقطر الأوعية الخشبية. كما لوحظ أيضاً وجود ارتباط عكسي بين عدد الأوعية الخشبية ومتوسط أقطارها.

التوصيات:

- 1- التعمق في الدراسات المتعلقة في البنية التشريحية للأوعية الناقلة لكافة أصناف كرمة العنب المزروعة في سورية, ودراسة دورها في حدوث وتطور الإصابة بمرض الذراع الميت.
 - 2- اعتماد الأصناف التي تبدي مقاومة للإصابة بمرض الذراع الميت. وخاصة في المناطق التي تعتبر موبوءة بالمرض.
 - 3- اعتماد استراتيجية المكافحة المتكاملة في إدارة أمراض جذع الكرمة بصورة عامة ومرض الذراع الميت بصورة خاصة.

المراجع:

- Barba, P.; J. Lillis; R.S. Luce; R. Travadon; M. Osier; K. Baumgartner; W.F. Wilcox; B.I. Reisch; and L. Cadle-Davidson (2018). Two dominant loci determine resistance to Phomopsis cane lesions in F1 families of hybrid grapevines. Theoretical and Applied Genetics. 131:1173–1189.
- Beckman, C.H.; E.M. Roberts (1995). On the nature and genetic basis for resistance and tolerance to fungal wilt diseases of plants. Adv. Bot. Res. 21, 35–77.
- Beier, G.L.; C.D. Lund; B.W. Held; R.C. Ploetz; J.L. Konkol; and R.A. Blanchette (2020). Variation in xylem characteristics of botanical races of Persea americana and their potential influence on susceptibility to the pathogen Raffaelea lauricola. Trop. Plant Pathol. 1–8.
- Bertsch, C.; M. Ramirez-Suero; M. Magnin-Robert; P. Larignon; J. Chong; E. Abou-Mansour; A. Spagnolo; C. Clément; and F. Fontaine (2013). Grapevine trunk diseases: complex and still poorly understood. Plant Pathol. 62: 243-265.
- Brasier, C.M. (1991). Ophiostoma novo-ulmi sp. nov. causative agent of current Dutch elm disease pandemics. Mycopathologia. 115: 51–161.
- Creasy, G.L.; and L.L. Creasy (2018). Grapes, 2nd Edition. CABI. 396 pp.
- Deyett, E.; J. Pouzoulet; J.I. Yang; V.E. Ashworth; C. Castro; M.C. Roper; and P.E. Rolshausen (2019). Assessment of Pierce's disease susceptibility in Vitis vinifera cultivars with different pedigrees. Plant Pathol. 68: 1079–1087.
- Foglia, R.; L. Landi; and G. Romanazzi (2022). Analyses of Xylem Vessel Size on Grapevine Cultivars and Relationship with Incidence of Esca Disease, a Threat to Grape Quality. Appl. Sci. 12, 1177
- Fradin, E.F.; and B.P.H.J. Thomma (2006). Physiology and molecular aspects of Verticillium wilt diseases caused by V. dahliae and V. albo-atrum. Mol. Plant Pathol. 7: 71–86.
- Gramaje, D.; J.R. Urbez-Torres; and M.R. Sosnowski (2018). Managing Grapevine Trunk Diseases With Respect to Etiology and Epidemiology: Current Strategies and Future Prospects. Plant Disease. 102(1): 12–39.
- Graniti, A.; G. Surico; and L. Mugnai (2000). Esca of grapevine: a disease complex or a complex of diseases. Phytopathologia Mediterranea. 39: 16–20.
- Kenfaoui, J.; N, Radouane; M, Mennani; A. Tahiri; L, El Ghadraoui; Z, Belabess; F, Fontaine; H, El Hamss; S, Amiri; R, Lahlali; and E, Ait Barka (2022). A Panoramic View on Grapevine Trunk Diseases Threats: Case of Eutypa Dieback, Botryosphaeria Dieback, and Esca Disease. Journal of fungi. 8. 595.
- Kotze, C.; J.V. Niekerk; L. Mostert; F. Halleen; and P. Fourie (2011). Evaluation of biocontrol agents for grapevine pruning wound protection against trunk pathogen infection. Phytopathol Mediterr.50 (Supplement): S247–S263.
- Latinović, N.; J. Latinović; and J. Zindović (2004). Susceptibility of grapevine to causal agent of dead arm disease (phomopsis viticola sacc.) Depending on growth form. Natura Montenegrina, Podgorica. 3: 207-212.
- Manawasinghe, I.S.; A.J. Dissanayake; X. Li; M. Liu1; D.N. Wanasinghe; J. Xu; W. Zhao; W. Zhang; Y. Zhou; K.D. Hyde; S. Brooks; and J. Yan (2019). High Genetic Diversity and Species Complexity of Diaporthe Associated With Grapevine Dieback in China. Frontiers in Microbiology. 10: 28p.
- Martelli, G. P. (1997). Infectious diseases and certification of grapevine. Options Mediterr. Ser. B 29:47-64.

- Pouzoulet, J.; A.L. Pivovaroff; L.S. Santiago; and P.E. Rolshausen (2014). Can vessel dimension explain tolerance toward fungal vascular wilt diseases in woody plants? Lessons from Dutch elm disease and esca disease in grapevine. Front. Plant Sci. 5, 253.
- Pouzoulet, J.; E. Scudiero; M. Schiavon; and P.E. Rolshausen (2017). Xylem vessel diameter affects the compartmentalization of the vascular pathogen Phaeomoniella chlamydospora in grapevine. Front. Plant Sci. 8, 1442.
- Rolshausen, P.E.; J.R. Urbez-Torres; S. Rooney-Latham; A. Eskalen; R.J. Smith; and W.D. Gubler (2010). Evaluation of pruning wound susceptibility and protection against fungi associated with grapevine trunk diseases. Am. J. Enol. Vitic. 61: 113–119.
- Scholz, A.; M. Klepsch; Z. Karimi; and S. Jansen (2013). How to quantify conduits in wood? Front. Plant Sci. 4: 56.
- Sharga, B.M. (2017). Fungal diseases of grapes in uzhhorod and on surrounding lands. Sci. Bull. Uzhgorod Univ. (Ser. Biol.). 42: 28-36.
- Solla, A; L. Gil. (2002). Xylem vessel diameter as a factor in resistance of Ulmus minor to Ophiostoma novo-ulmi. For. Pathol. 32: 123–134.
- Talboys, P.W. (1972). Resistance to vascular wilt fungi. Proc. R. Soc. Lond. Ser. B. Biol. Sci. 181: 319–332.
- Travadon, R.; P.E. Rolshausen; W.D. Gubler; L. Cadle-Davidson; and K. Baumgartner (2013). Susceptibility of cultivated and wild Vitis spp. to wood infection by fungal trunk pathogens. Plant Dis. 97: 1529–1536.
- Úrbez-Torres, J. R.; and W.D. Gubler (2009). Pathogenicity of Botryosphaeriaceae species isolated from grapevine cankers in California. Plant Dis. 93:584-592.
- Úrbez-Torres, J.R. (2011). The status of Botryosphaeriaceae species infecting grapevines. Phytopathologia Mediterranea. 50: (Supplement), S5–S45.
- Úrbez-Torres, J.R.; H.F. Peduto; R.J. Smith; and W.D. Gubler (2013). Phomopsis dieback: a grapevine trunk disease caused by Phomopsis viticola in California. Plant Disease. 12: 1571-1579.
- Venturas, M.; R. Lopez; J.A. Martin; A. Gasco; and L. Gil (2014). Heritability of Ulmus minor resistance to Dutch elm disease and its relationship to vessel size, but not to xylem vulnerability to drought. Plant Pathol. 63: 500–509.
- Wilcox, W. F.; W.D. Gubler; and J.K. Uyemoto (2015). Compendium of Grape Diseases, Disorders, and Pests, 2nd Ed. American Phytopathological Society Press, St. Paul, MN. 232p.
- Yadeta, K.; and B.P.H.J. Thomma (2013). The xylem as battleground for plant hosts and vascular wilt pathogens. Front. Plant Sci. 4: 97.

Study of relationship between the diameter of xylem vessels of grapevine *Vitis vinifera* L. and the incidence of dead-arm disease

Saher Al-Halabi*(1), Walid Nafaa(2) and Bayan Mezher(3)

- (1). Department of Plant Protection Research, Agriculture Research Center in Swieda, General Commission for Scientific Agricultural Research (GCSAR), Syria
- (2). Damascus University, Second Faculty of Agriculture, Swieda, Syria
- (3). Pome and Grapevine Division, Sweida, GCSAR, Syria.
- (*Corresponding author: Saher Al-Halabi. E-Mail: alhalabi.m.saher@gmail.com)

Received: 30/12/2023 Accepted:25/05/2024

Abstract

Dead-arm disease is one of the most important Grapevine Trunk Diseases. It effects on the quality and quantity of grape production, and leads to early death of infected bushes in vineyards. The aim of this study was to determine some characteristics of Xylem vessels, such as diameter and density of Xylem vessel in two V. vinifera cultivars "Al-Salti" and "Alhulwani", to determine their role in the occurrence of dead arm disease. The research was carried out at the Agricultural Scientific Research Center and vineyards within Swieda Governorate, during the season (2022-2023). The results showed that the diameters of large Xylem vessels were encouraging the occurrence and spread of infection in the studied varieties, as "Al-Salti" variety recorded an infection rate estimated at 100% with a large average diameter of Xylem vessels (195.14 µm) compared to "Al-Halwani" variety, which recorded an infection rate of 25% and a small average diameter (87.27µm). The frequency of vessels was inversely related to the average diameter of vessels for the varieties, where the frequency of vessels was recorded as (29.75 and 38.21 vessel/mm²), respectively. This is considered the first study to show the role and relationship of the diameter and density of Xylem vessels in grapevine to the occurrence and spread of dead-arm disease.

Keywords: grapevine, dead-arm, Xylem vessels, diameter, density.